

Résolution itérative de l'équation de Goldstein pour l'acoustique dans un écoulement non potentiel

J.-F. Mercier^a et V. Pagneux^b

^aPoems, CNRS, ENSTA ParisTech, INRIA, 828 boulevard des Maréchaux, 91762 Palaiseau, France

^bLAUM, Université du Maine Avenue Olivier Messiaen, 72085 Le Mans, France

jean-francois.mercier@ensta-paristech.fr

Nous étudions le rayonnement acoustique dans un écoulement général (non potentiel). En régime harmonique, nous considérons des géométries 2D arbitraires et donc nous privilégions les méthodes d'éléments finis adaptées à des maillages non-structurés. Nous développons une méthode qui combine la résolution de l'équation de Helmholtz convectée (Helmholtz généralisée à la présence d'un écoulement), bien adaptée à une résolution par éléments finis mais valable uniquement pour un écoulement potentiel, et qui prend en compte le couplage acoustique-hydrodynamique : les tourbillons générés par l'acoustique et le bruit généré par les tourbillons. La méthode est basée sur la résolution des équations de Goldstein, valables pour un écoulement non potentiel, combinant l'équation usuelle de Helmholtz convectée et une inconnue supplémentaire vectorielle représentant la vorticit  et satisfaisant une  quation de transport. La r solution se fait par un processus it ratif, dans lequel la vorticit  sert de terme source   l'acoustique et est remise   jour   chaque it ration. L'efficacit  de la m thode a  t  test e dans des domaines de propagation born  ou non born  (le domaine de calcul est alors born  par des PML).

1 Les  quations de l'a roacoustique pour un  coulement g n ral

1.1 G ometrie et  coulement

Un domaine Ω contient un fluide parfait compressible en  coulement, suppos  stationnaire et homentropique. L' coulement est caract ris  par ses champs non uniformes de vitesse \vec{v}_0 , de densit  ρ_0 , de pression p_0 qui satisfont les  quations d'Euler combin es avec l' quation d' tat :

$$\begin{cases} \operatorname{div}(\rho_0 \vec{v}_0) = 0, \\ \rho_0 (\vec{v}_0 \cdot \vec{\nabla}) \vec{v}_0 + \vec{\nabla} p_0 = 0, \\ p_0 = \mu \rho_0^\gamma, \end{cases}$$

o  μ est une constante, $\gamma = c_p/c_v$ avec c_v la capacit  de chaleur sp cifique   volume constant et c_p la capacit  de chaleur sp cifique   pression constante. Sur les parois rigides not es Γ la condition aux limites s' crit :

$$\vec{v}_0 \cdot \vec{n} = 0 \quad \text{sur } \Gamma,$$

o  \vec{n} d signe le vecteur normal ext rieur. Enfin, nous introduisons la vorticit  de l' coulement $\vec{\omega}_0 = \operatorname{rot} \vec{v}_0$. Deux principaux mod les de propagation acoustique existent en fonction de la valeur de $\vec{\omega}_0$.

1.2 Cas d'un  coulement potentiel

Si $\vec{\omega}_0 = \vec{0}$, l' coulement est potentiel $\vec{v}_0 = \vec{\nabla} \varphi_0$. Si nous notons \vec{v} la perturbation de vitesse, on montre qu'elle est  galement potentielle, associ e au potentiel φ tel que $\vec{v} = \vec{\nabla} \varphi$. En r gime harmonique de fr quence ω , le potentiel satisfait l' quation de Helmholtz convect e [1, 2] :

$$\rho_0 \frac{D}{Dt} \left(\frac{1}{c_0^2} \frac{D\varphi}{Dt} \right) = \operatorname{div}(\rho_0 \vec{\nabla} \varphi),$$

o  $D/Dt = \vec{v}_0 \cdot \vec{\nabla} - i\omega$ est la d riv e convective, avec la condition aux limites $\partial\varphi/\partial n = 0$ sur Γ . La vitesse du son c_0 est d duite de la vitesse du fluide par la relation de Bernouilli :

$$\frac{|\vec{v}_0|^2}{2} + \frac{c_0^2}{\gamma - 1} = \text{cste.}$$

La pression et la densit  sont d duites de $c_0^2 = \gamma p_0/\rho_0$ et de la loi d' tat $p_0 = \mu \rho_0^\gamma$.

L' quation de Helmholtz convect e est attractive car elle est bien adapt e   une r solution par une m thode d' l ments finis et il existe des codes industriels performants [3].

1.3 Les  quations dans un  coulement g n ral

Si $\vec{\omega}_0 \neq \vec{0}$, la perturbation de vitesse est d compos e sous la forme :

$$\vec{v} = \vec{\nabla} \varphi + \vec{\xi},$$

o  le potentiel des vitesses φ et la nouvelle inconnue $\vec{\xi}$ satisfont le syst me coupl  :

$$\begin{cases} \frac{D}{Dt} \left(\frac{1}{c_0^2} \frac{D\varphi}{Dt} \right) = \frac{1}{\rho_0} \operatorname{div}[\rho_0 (\vec{\nabla} \varphi + \vec{\xi})], \\ \frac{D\vec{\xi}}{Dt} = \vec{\nabla} \varphi \wedge \vec{\omega}_0 - (\vec{\xi} \cdot \vec{\nabla}) \vec{v}_0. \end{cases} \quad (1)$$

Cette  quation a  t  d riv e dans le contexte des ondes acoustiques [4], mais aussi des  coulements h lico daux [5, 6, 7]. La pression p et la densit  ρ sont d duites de

$$\begin{aligned} p &= -\rho_0 D\varphi/Dt, \\ \rho &= c_0^2 \rho. \end{aligned}$$

Il a  t  prouv  [8] que la nouvelle inconnue satisfait $\vec{\xi} = \vec{u} \wedge \vec{\omega}_0$ o  \vec{u} est le d placement de fluide. C'est ce qui rend l' quation (1) si attrayante : $\vec{\xi}$ s'annule dans les zones o  l' coulement est potentiel (en g n ral pr pond rantes) et l' quation de Helmholtz convect e habituelle est r cup r e.

Contrairement au cas potentiel, Eq. (1) ne peut pas  tre r solue par une m thode d' l ments finis classiques : l' quation en $\vec{\xi}$ est une  quation de transport harmonique non adapt e aux  l ments finis de Lagrange (une r solution directe conduit   des r sultats erron s). Une solution est par exemple d'utiliser des  l ments finis de Galerkin Discontinu. Toutefois, si $\vec{\xi}$ est fix  dans la premi re  quation de Eq. (1), on obtient pour φ l' quation de Helmholtz convect e avec $\vec{\xi}$ comme terme source. Dans la section suivante, nous allons utiliser cette remarque et d velopper une m thode pour r soudre les  quations coupl es du syst me (1) gr ce   des  l ments finis classiques.

2 R solution : la m thode it rative

La m thode repose sur le fait qu'on s'attend   ce que $\vec{\xi}$ soit petit. En effet de $|i\omega \vec{\xi}| \sim |\vec{\nabla} \varphi \wedge \vec{\omega}_0|$ on d duit que $|\vec{\xi}| \sim \epsilon |\vec{\nabla} \varphi|$ o  $\epsilon = \omega_0/\omega$ avec $\omega_0 = |\vec{\omega}_0|$. Ce terme ϵ est petit car l'acoustique est un ph nom ne haute fr quence, de fr quence plus  lev e que la vorticit  de l' coulement. Ceci peut aussi se voir en comparant les longueurs caract ristiques : si on note a la distance typique de variation de l' coulement, on a $\omega_0 \sim |\vec{v}_0|/a$ et de $\omega = 2\pi c_0/\lambda$ o  λ est la longueur d'onde acoustique, on tire que $2\pi\epsilon \sim M(\lambda/a)$ o  $M = |\vec{v}_0|/c_0$ est

le nombre de Mach de l'écoulement. Le régime usuel de l'aéroacoustique correspond à $M < 1$ et $\lambda \ll a$.

Par conséquent pour ϵ petit la résolution de la première équation de (1) avec $\vec{\xi}^z = \vec{0}$ donnerait une bonne approximation de la solution. En résolvant alors la seconde équation de (1) de façon itérative il est facile d'en déduire $\vec{\xi}^z$. Cette remarque se généralise pour conduire à une méthode itérative de résolution des équations de Goldstein (1). Pour le rayonnement d'une source f dans un écoulement général, nous introduisons le processus de résolution itératif suivant : si nous connaissons $\vec{\xi}_{n-1}^z$ à l'étape $n-1$, alors φ_n est obtenu en résolvant :

$$\begin{cases} \rho_0 \frac{D}{Dt} \left(\frac{1}{c_0^2} \frac{D}{Dt} \varphi_n \right) = \text{div} [\rho_0 (\vec{\nabla} \varphi_n + \vec{\xi}_{n-1}^z)] + f & \text{dans } \Omega, \\ \frac{\partial \varphi_n}{\partial n} + \vec{\xi}_{n-1}^z \cdot \vec{n} = 0 & \text{sur } \Gamma. \end{cases}$$

Notons que cette équation peut être résolue par des éléments finis classiques. Une fois que φ_n a été déterminé, $\vec{\xi}_n^z$ est calculé, toujours par éléments finis, grâce à la relation explicite :

$$-i\omega \vec{\xi}_n^z = \vec{\nabla} \varphi_n \wedge \vec{\omega}_0 - (\vec{\xi}_{n-1}^z \cdot \vec{\nabla}) \vec{v}_0 - (\vec{v}_0 \cdot \vec{\nabla}) \vec{\xi}_{n-1}^z.$$

Notons que pour ϵ petit, comme on s'attend à ce que $\vec{\xi}^z$ soit de faible amplitude, le processus itératif est initié avec $\vec{\xi}_0^z = \vec{0}$ et on s'attend à ce que peu d'itérations soient nécessaires.

3 Exemples numériques

Nous présentons maintenant deux illustrations numériques de la méthode, avec un écoulement de type tourbillon dans un domaine borné et un écoulement cisaillé dans un domaine ouvert.

3.1 Écoulement de type tourbillon

Nous choisissons un écoulement tourbillonnaire \vec{v}_0 centré en $\vec{x} = \vec{0}$. Comme $\vec{v}_0(\vec{0}) = \vec{0}$, la vitesse du son est donnée par $c_0^2 = (c_0^0)^2 - (\gamma-1)|\vec{v}_0|^2/2$ où $c_0^0 = c_0(\vec{0})$. En prenant c_0^0 comme vitesse de référence, on peut écrire les équations (1) sous une forme sans dimension. Notant ρ_0^0 la densité de référence (telle que $(c_0^0)^2 = \gamma\mu(\rho_0^0)^{\gamma-1}$) et en introduisant les grandeurs sans dimension $\tilde{c}_0 = c_0/c_0^0$, $\tilde{v}_0 = \vec{v}_0/c_0^0$ et $\tilde{\rho}_0 = \rho_0/\rho_0^0$, on se ramène à (les tildes sont omis pour simplifier les écritures) :

$$\begin{cases} \rho_0 \frac{D}{Dt} \left(\frac{1}{c_0^2} \frac{D}{Dt} \varphi \right) = \text{div} [\rho_0 (\vec{\nabla} \varphi + \vec{\xi}^z)] + f & \text{dans } \Omega, \\ (\vec{v}_0 \cdot \vec{\nabla} - ik) \vec{\xi}^z = \vec{\nabla} \varphi \wedge \vec{\omega}_0 - (\vec{\xi}^z \cdot \vec{\nabla}) \vec{v}_0 & \text{dans } \Omega, \\ \frac{\partial \varphi}{\partial n} + \vec{\xi}^z \cdot \vec{n} = 0 & \text{sur } \Gamma, \end{cases}$$

où

$$\begin{cases} \frac{D}{Dt} = \vec{v}_0 \cdot \vec{\nabla} - ik, \\ c_0^2 = 1 - \frac{\gamma-1}{2} |\vec{v}_0|^2 = \rho_0^{\gamma-1}, \end{cases}$$

avec $k = \omega/c_0^0$ la fréquence réduite.

Dans Ω un disque de rayon R avec une frontière rigide, nous choisissons le tourbillon de Rankine de rayon de cœur

$a < R$ défini en coordonnées polaires par $\vec{v}_0(r, \theta) = V_0(r) \vec{e}_\theta$ où $V_0 = \gamma g(r)/2\pi$ avec :

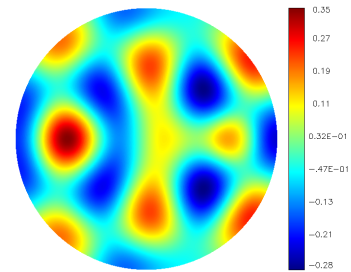
$$\begin{cases} g(r) = \frac{r}{a^2} & \text{si } r \leq a, \\ = \frac{1}{r} & \text{si } r \geq a. \end{cases}$$

A cet écoulement est associée la vorticit  $\text{rot } \vec{v}_0 = h(r)$ avec :

$$\begin{cases} h(r) = \frac{\gamma}{\pi a^2} & \text{si } r \leq a, \\ = 0 & \text{si } r \geq a. \end{cases}$$

Pour un test numérique, nous avons choisi $R = 3$, un vortex de rayon $a = 2$ et de vorticit  $\gamma = 0,4$, une source $f = 1$ sur un disque de rayon $0,5$ centr e en $(2, 0)$ et $k = 3$. Le param tre ϵ vaut $\epsilon = \omega_0/\omega = \gamma/\pi a^2 k = 0.011$, petit devant 1 donc on s'attend   ce que peu d'it rations soient n cessaires. Sur la Fig. 1 sont trac es les parties r elles du

$\Re e(\varphi_1)$:



$\Re e[(\xi_x)_1]$:

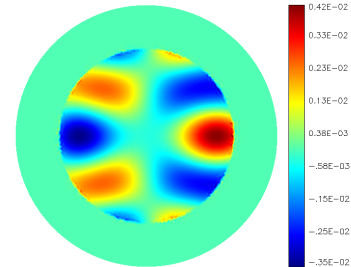


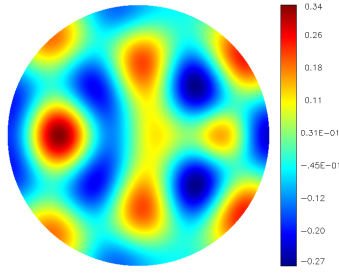
FIGURE 1 – Premi re it ration pour un tourbillon

potentiel des vitesses et de la composante horizontale de $\vec{\xi}^z$   la premi re it ration. ξ_x s'annule clairement en dehors du c ur du tourbillon (pour $r > a$) car $\vec{\xi}^z = \vec{u} \wedge \vec{\omega}_0$. Sur la Fig. 2 sont trac es les m mes quantit s   la deuxi me it ration : le potentiel des vitesses a l g rement chang  (l' chelle est pass e de $[-0,28, 0,35]$   $[-0,27, 0,34]$) en raison du terme source suppl mentaire $\text{div}(\rho_0 \vec{\xi}_1^z)$. Cette solution s'av re  tre la solution converg e : les it rations suivantes modifient tr s peu les valeurs de φ ou de $\vec{\xi}^z$.

3.2  coulement cisaill 

Nous consid rons   pr sent un  coulement de cisaillement $\vec{v}_0 = V_0(y)\vec{e}_x$ dans un conduit de hauteur 1. Pour un tel  coulement $c_0 = \text{cste}$ et $\rho_0 = \text{cste}$. En notant

$\Re e(\varphi_2)$:



$\Re e[(\xi_x)_2]$:

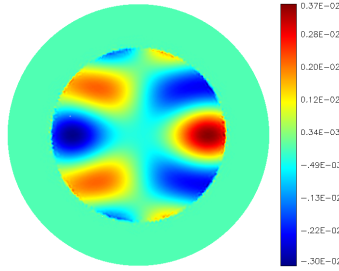


FIGURE 2 – Seconde itération pour le tourbillon

$M(y) = V_0(y)/c_0$ et $D = M(y)\partial/\partial x - ik$, nous obtenons :

$$\begin{cases} D^2\varphi = \text{div}(\vec{\nabla}\varphi + \vec{\xi}) + f, \\ D\vec{\xi} = \begin{pmatrix} -M' \left(\frac{\partial\varphi}{\partial y} + \xi_y \right) \\ M' \frac{\partial\varphi}{\partial x} \end{pmatrix}. \end{cases}$$

Contrairement au cas précédent, le domaine de propagation est maintenant illimité. Pour borner le domaine d'intérêt, noté Ω_b , tout en sélectionnant la solution sortante, nous introduisons des PML (couches parfaitement adaptées) Ω_{\pm}^L de longueur L (voir Fig. 3). En présence de PML, le

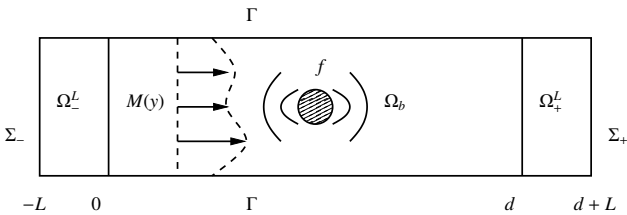


FIGURE 3 – Domaine de calcul avec PML

problème est posé dans le domaine de calcul $\Omega = \Omega_b \cup \Omega_{\pm}^L$ et il devient :

$$\begin{cases} D_{\alpha}^2\varphi = \text{div}_{\alpha}(\vec{\nabla}_{\alpha}\varphi + \vec{\xi}) + f \quad \text{dans } \Omega, \\ -ik\vec{\xi} = \begin{pmatrix} -M' \left(\frac{\partial\varphi}{\partial y} + \xi_y \right) \\ M' \tilde{\alpha} \frac{\partial\varphi}{\partial x} \end{pmatrix} - M\tilde{\alpha} \frac{\partial\vec{\xi}}{\partial x} \quad \text{dans } \Omega, \\ \frac{\partial\varphi}{\partial y} + \xi_y = 0 \quad \text{sur } \Gamma, \\ \varphi = 0 \quad \text{sur } \Sigma_{\pm}. \end{cases}$$

L'indice α signifie que $\partial/\partial x$ a été remplacé par $\tilde{\alpha}\partial/\partial x$. $\tilde{\alpha} = 1$ dans Ω_b et $\tilde{\alpha} = \alpha$ dans les PML avec α un nombre complexe

choisi tel que $\Re e(\alpha) > 0$ et $\Im m(\alpha) < 0$.

Pour les illustrations numériques, nous avons choisi $d = 2$, $L = 0.5$, la source $f = -1$ dans le disque de rayon 0.2 centrée en $(1, 0.5)$, $k = 5$ et $\alpha = 0.3(1 - i)$. Deux profils de vitesse sont considérés.

3.2.1 Profil en tangente hyperbolique

Nous prenons le profil :

$$M(y) = (M_{max} - M_{min}) \tanh[\kappa(y - y_c)] + M_{max} + M_{min},$$

avec $M_{min} = 0.$, $M_{max} = 0.2$, $\kappa = 10$ et $y_c = 0.5$. La vorticité maximale est $M'(y_c) = \kappa M_{max}$ ce qui donne $\epsilon = \kappa M_{max}/k = 0.4$. Bien que ϵ ne soit pas très petit devant 1, nous allons voir que peu d'itérations sont nécessaires pour obtenir la solution convergée.

Fig. 4 montre la partie réelle du potentiel de vitesse pour $\vec{\xi} = \vec{0}$. Fig. 5 montre la résultante $\vec{\xi}_1$, localisé

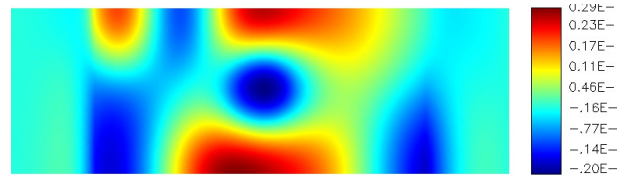


FIGURE 4 – Potentiel des vitesses à la première itération

essentiellement dans la partie de plus grand cisaillement de l'écoulement, autour de $y = y_c$. Fig. 6 montre le potentiel des

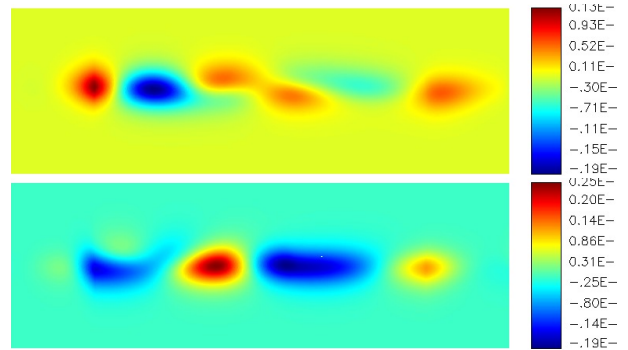


FIGURE 5 – $\Re e(\xi_x)$ en haut, $\Re e(\xi_y)$ en bas, à la première itération

vitesses à la deuxième itération : comme pour l'écoulement tourbillonnaire, de prendre en compte les effets de vorticité ne modifie que légèrement le champ acoustique. Notons que les PML fonctionnent bien : φ en Fig. 6 et $\vec{\xi}$ en Fig. 5 diminuent continûment dans les couches. Les itérations

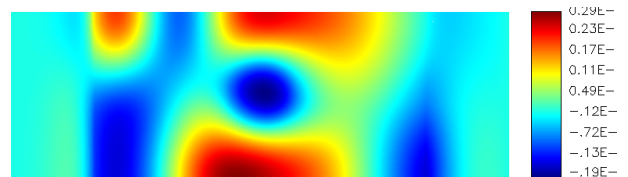


FIGURE 6 – Potentiel des vitesses à la deuxième itération

suivantes ne modifient pas de manière significative le potentiel des vitesses.

3.2.2 Écoulement de couches limites

Ici, nous considérons l'écoulement de couches limites

$$M(y) = (M_{max} - M_{min}) \{ \tanh(\kappa y) + \tanh[\kappa(h - y)] \} + 2M_{min} - M_{max},$$

où $M_{min} = 0$, $M_{max} = 0.1$ et $\kappa = 10$. Cet écoulement s'annule sur les parois rigides et est presque constant, égal à M_{max} dans le centre du guide. Pour cet écoulement on obtient $\epsilon = \kappa M_{max} / k = 0.2$, non petit. Comme précédemment, le potentiel des vitesses obtenu lors de la première itération (Fig. 7) est proche de sa valeur convergée. Cette fois $\vec{\xi}$ est

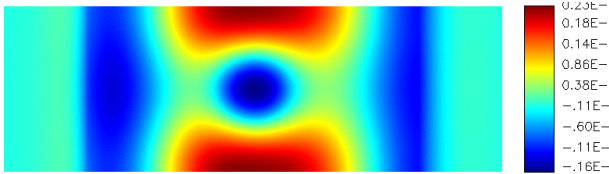


FIGURE 7 – Potentiel des vitesses à la première itération

localisé dans les couches limites en contact avec les parois du guide (fig. 7).

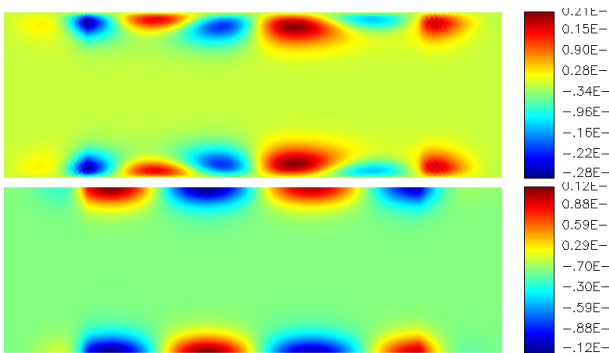


FIGURE 8 – $\Re(\xi_x)$ en haut, $\Re(\xi_y)$ en bas, à la première itération

4 Conclusion

Nous avons considéré les équations de Goldstein, étendant l'équation de Helmholtz convectée, valable que pour un écoulement porteur potentiel, au cas d'un écoulement général. Les inconnues sont le potentiel des vitesses φ et la vorticit  $\vec{\xi}$. φ satisfait l' quation de Helmholtz convect e dans laquelle la vorticit  joue le r le de source et est d termin  en utilisant une m thode  l ments finis classique. En revanche $\vec{\xi}$ satisfait une  quation de transport harmonique non adapt e   des  l ments finis classiques. La strat gie de r solution propos e consiste   r soudre les  quations coupl es de Goldstein de fa on it rative. Dans les conditions usuelles de l'a roacoustique, fr quence des ondes grande devant la vorticit  de l' coulement porteur, on s'attend   ce que la m thode it rative converge vite. Nous avons montr  que ce sc nario se v rifie si le rapport vorticit /fr quence est petit ou mod r , il reste    tudier la convergence du sch ma it ratif lorsque ce rapport grandit.

Remerciements

Les auteurs remercient l'Agence Nationale de la Recherche (projet AEROSON, ANR-09-BLAN-0068-02 program) pour le soutien financier.

R f rences

- [1] A. D. Pierce, Wave equation for sound in fluids with unsteady inhomogeneous flow, *J. Acoust. Soc. Am.* **87**(6), 2292-2299 (1990)
- [2] W. Eversman, Theoretical models for duct acoustic propagation and radiation, *Aeroacoustics of Flight Vehicles : Theory and Practice, 2 : Noise Control*, NASA RP-1258, 101-63 (1991)
- [3] J. P. Coyette, *Manuel th orique ACTRAN*, Free Field Technologies, Louvain-la-Neuve, Belgique (2001)
- [4] M. E. Goldstein, Unsteady vortical and entropic distortions of potential flows round arbitrary obstacles, *Journal of Fluid Mechanics* **89**(3), 433-468 (1978)
- [5] V. V. Golubev and H.M. Atassi, Sound propagation in an annular duct with mean potential swirling flow, *Journal of Sound and Vibration* **198**(5), 601-616 (1996)
- [6] C. J. Heaton and N. Peake, Algebraic and exponential instability of inviscid swirling flow, *Journal of Fluid Mechanics* **565**, 279-318 (2006)
- [7] A. J. Cooper, Effect of mean entropy on unsteady disturbance propagation in a slowly varying duct with mean swirling flow, *Journal of sound and vibration* **291**(3-5), 779-801 (2006)
- [8] S. E. P. Bergliaffa, K. Hibberd, M. Stone and M. Visser, Wave Equation for Sound in Fluids with Vorticity, *Physica D* **191**, 121-136 (2004)